

63. Theilheimer, W. Synthetische Methoden der Organischen Chemie / W. Theilheimer. – Basel-New York, 1947. – S. 115.
64. Weinberg, D.S. Fragmentation of organic compounds on electron impact. IV. Cyclic sulfones / D.S. Weinberg, C. Stafford, M.W. Scoggins // Tetrahedron. – 1968. – V. 24, № 15. – P. 5409–5420.
65. Xue, F. Structure-activity studies of cyclic ketone inhibitors of the serine protease plasmin: Design, synthesis, and biological activity / F. Xue, C.T. Seto // Bioorg. Med. Chem. – 2006. – V. 14, № 24. – P. 8467–8487.
66. Zlenko, H.T. Investigation of analgesic and anticonvulsive activity of norbornene row derivatives / H.T. Zlenko, L.I. Kasyan, V.I. Mamchur, V.A. Palchikov, I.N. Tarabara, T.A. Skachko // Abstr. of Pain in Europe V. – Istanbul, Turkey // European Journal of Pain. – 2006. – V. 10, suppl. 1. – S. 139–140.
67. van Zuydewijn, E. de Roy. Unsaturated sulfones. II. Oxidation, bromination and hydrogenation of unsaturated sulfones / E. de Roy van Zuydewijn // Rec. Trav. Chim. Belg. – 1938. – V. 57. – P. 445–455.

*Надійшла до редколегії 15.01.09*

УДК 547.304.2

**А.В. Мазепа<sup>1</sup>, В.А. Пальчиков<sup>2</sup>, И.Н. Тарабара<sup>2</sup>, Л.И. Касьян<sup>2</sup>**

<sup>1</sup>Физико-химический институт им. А.В. Богатского НАН Украины

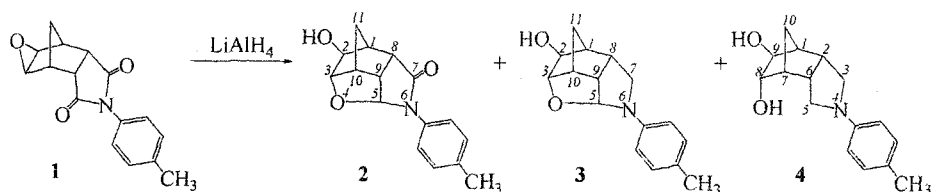
<sup>2</sup>Днепропетровский национальный университет им. Олеся Гончара

## **ОСОБЕННОСТИ МАСС-СПЕКТРАЛЬНОГО РАСПАДА ПРОДУКТОВ ВОССТАНОВЛЕНИЯ N-(n-ТОЛИЛ)-ЭКЗО-5,6- ЭПОКСИБИЦИКЛО-[2.2.1]ГЕПТАН-ЭНДО,ЭНДО-2,3- ДИКАРБОКСИМИДА**

**Розглянуто особливості мас-спектрального розкладу продуктів відновлення N-(n-толіл)-екзо-5,6-епоксібіцикло[2.2.1]гептан-ендо,ендо-2,3-дикарбоксіміду алюмогідридом літію.**

Известен ряд публикаций, посвященных методам получения и биологической активности эпоксидных производных имидов ряда норборнена [3–7], изучению их реакционной способности в литературе не уделялось достаточного внимания [2]. Благодаря присутствию нескольких способных к дальнейшей трансформации группировок, в частности, эпоксидного цикла и имидного фрагмента, эти соединения можно рассматривать как перспективные объекты для превращения в различные гетерополициклические системы.

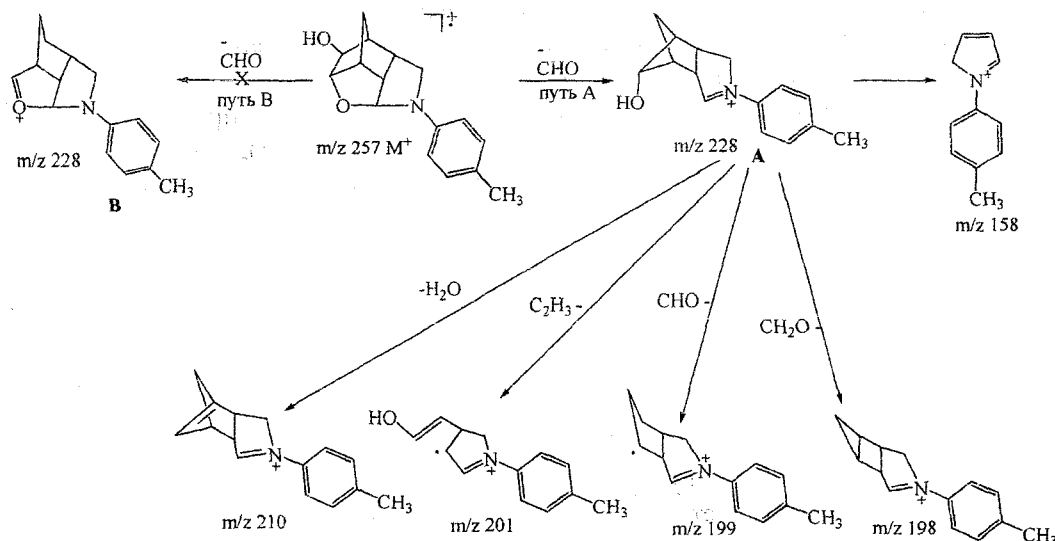
Недавно нами было показано [8], что восстановление доступного N-n-толил-экзо-5,6-эпоксибіцикло[2.2.1]гептан-эндо,эндо-2,3-дикарбоксимида (**1**) [3] алюмогідридом лития при кипячении в диэтиловом эфире и тетрагидрофуране приводит к смесям трех продуктов в различных соотношениях: экзо-2-гидрокси-6-аза-4-оксатетрацикло[5.2.1.1<sup>3,5</sup>.0<sup>8,9</sup>]ундекан-7-ону (**2**), экзо-2-гидрокси-6-аза-4-оксатетрацикло[5.2.1.1<sup>3,5</sup>.0<sup>8,9</sup>]ундекану (**3**) и эндо-8,экзо-9-дигидрокси-4-азатрицикло[5.2.1.0<sup>2,6</sup>]декану (**4**).



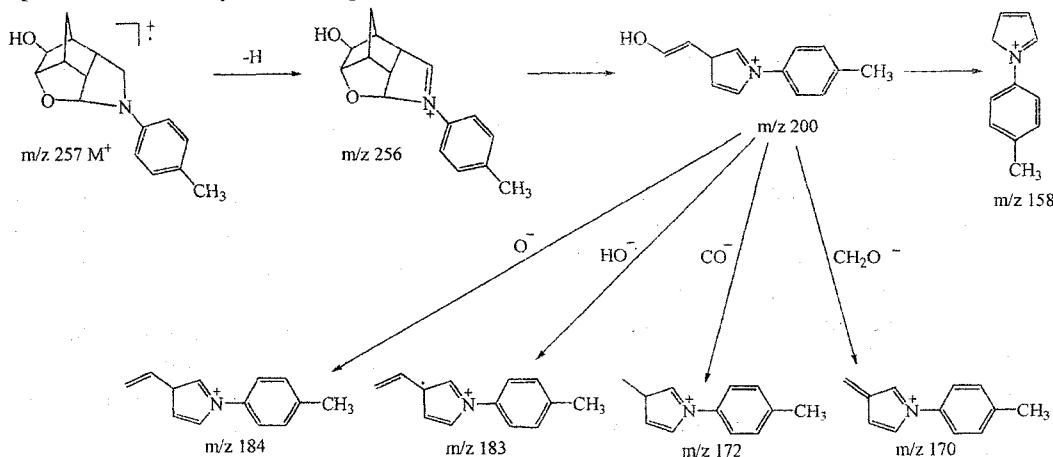
Хроматографированием смесей продуктов реакции в колонке, заполненной оксидом алюминия (элюент – диэтиловый эфир), удалось выделить в индивидуальном состоянии все упомянутые соединения. Установление строения сложных полициклических соединений невозможно без детального анализа их ИК-спектров, спектров ЯМР и масс-спектров. В настоящей работе рассмотрены особенности масс-спектрального распада соединений (2–4). Масс-спектры соединений (2–4) записаны на спектрометре Varian 1200L при энергии ионизирующего излучения 70 эВ, а спектры мегастабильных ионов на приборе VG 7070EQ.

В масс-спектре соединения (3) присутствует интенсивный пик молекулярных ионов ( $m/z$  257, 61.4 %). Анализ спектра их дочерних ионов (В/Е-связанное сканирование) позволяет сделать вывод о реализации двух независимых направлений фрагментации, сопровождающихся элиминированием 29 и 57 а. е. м., с образованием фрагментов с  $m/z$  228 и  $m/z$  200 соответственно. В пользу того, что эти два направления являются независимыми, свидетельствует отсутствие пика ионов с  $m/z$  200 в спектре дочерних ионов фрагментов с  $m/z$  228.

Исходя из структуры молекул соединения (3), можно предположить, что элиминирование фрагмента с массой 29 а. е. м. связано с выбросом формильного радикала ( $\text{CHO}^\cdot$ ), которое может реализовываться либо с раскрытием фуранового цикла (направление А, структура А), либо затрагивать гидроксильную группу (направление В, структура В). Как видно из приведенной схемы распада, элиминирование молекулы воды и формальдегида из структуры (В) невозможно, хотя пики соответствующих фрагментов ( $m/z$  210 и 198) присутствуют в спектре дочерних ионов. Это позволяет сделать вывод о преимущественной реализации направления А, с последующим распадом фрагментов структуры (А) на осколочные ионы, пики которых присутствуют в спектре дочерних ионов.



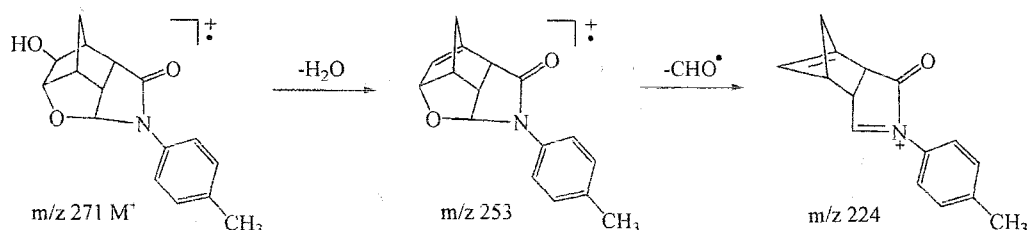
Вторым направлением распада молекулярных ионов соединения (3), как отмечалось выше, является образование фрагментов  $[M-57]^+$ , учитывая присутствие в спектре дочерних ионов интенсивного пика  $[M-H]^+$ , схему их образования можно представить следующим образом:



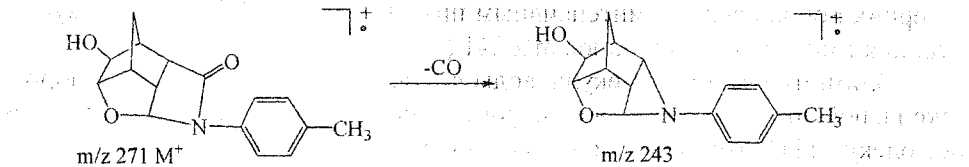
Как видно из приведенной схемы, это направление фрагментации, в отличие от элиминирования формильного радикала, сопровождается распадом трициклического фрагмента. Дальнейший распад фрагментов  $[M-57]^+$ , как следует из спектра их дочерних ионов, протекает по приведенной выше схеме.

Введение карбонильной группы в пирролидиновый цикл (соединение 2) способствует стабилизации молекулярных ионов, что приводит к увеличению интенсивности их пика до 100 % и снижает глубину фрагментации. Наряду с этим, появляются новые направления фрагментации, отличные от наблюдавшихся в случае соединения (3). Как видно из спектра дочерних ионов для молекулярных ионов соединения (2) реализуются два основных первичных направления распада, сопровождающихся элиминированием молекулы воды и окиси углерода. Относительная интенсивность пиков, соответствующих этим направлениям фрагментации в спектре дочерних ионов существенно выше, по сравнению с масс-спектром, что свидетельствует о низкой энергоемкости указанных процессов.

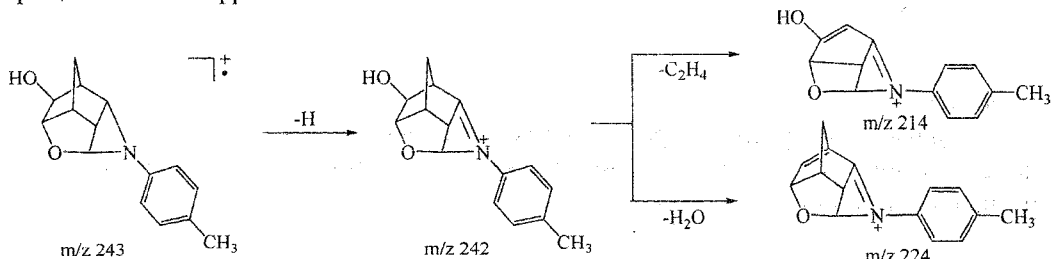
Высокая устойчивость и относительно большое время жизни молекулярных ионов в случае соединения (2), в отличие от рассмотренного ранее соединения (3), делает возможным протекание перегруппировочного процесса, приводящего к образованию ионов  $[M-H_2O]^+$  ( $m/z$  253, 7.9 %), дальнейший распад которых, как следует из спектра их дочерних ионов сопровождается выбросом формильного радикала:



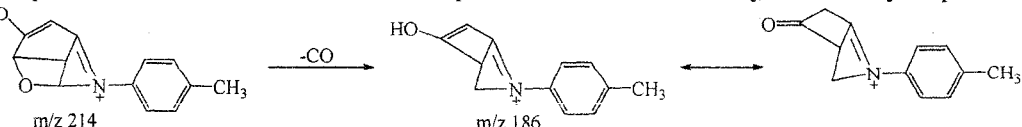
Элиминирование молекулярными ионами молекулы окиси углерода в случае соединения (3) не наблюдается. Если учесть, что такое направление распада реализуется для  $\gamma$ -лактамов [1], то можно предположить, что оно связано с сокращением пирролидонового цикла:



Из сравнения спектров дочерних ионов следует, что дальнейший распад фрагментов с  $m/z$  243 протекает через две стадии и включает в себя выброс атома водорода на первом этапе с последующим разрушением гидроксиорганического фрагмента:

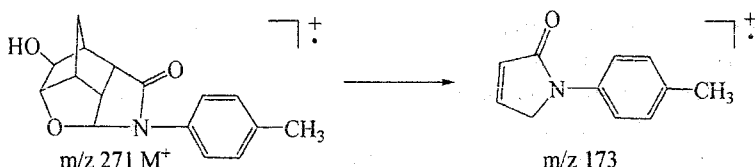


Последняя стадия распада, как следует из спектра дочерних ионов, связана с раскрытием оксетанового цикла и выбросом еще одной молекулы окиси углерода:



Присутствие в спектре дочерних ионов фрагментов  $m/z$  214 пика ионов, соответствующих элиминированию молекулы воды ( $m/z$  196) подтверждает сохранение на этой стадии распада свободной гидроксильной группы. Структура образовавшихся фрагментов  $m/z$  186 согласуется со спектром их дочерних ионов, для них наблюдается элиминирование молекулы воды (ионы  $m/z$  168), подтверждающее присутствие гидроксильной группы и выброс молекулы окиси углерода (ионы  $m/z$  158). Следует отметить, что эти осколочные ионы в масс-спектре отсутствуют, что, вероятно, обусловлено большим временем, необходимым для их образования в результате описанного выше многостадийного процесса.

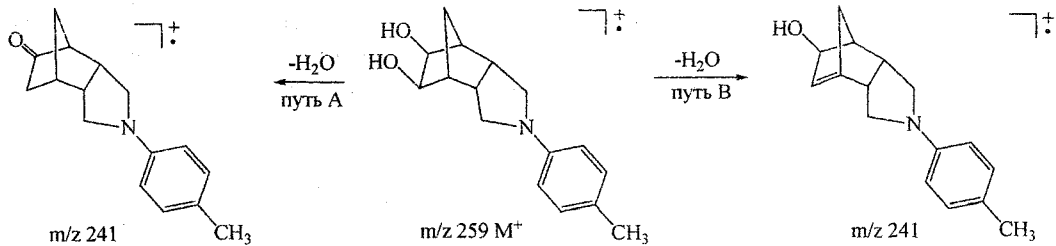
В спектрах дочерних ионов всех приведенных фрагментов отсутствуют осколочные ионы  $m/z$  173, наблюдаваемые в масс-спектре. Для выяснения источника их образования для этих частиц был зарегистрирован спектр метастабильной дефокусировки. Из полученных данных следует, что рассматриваемые фрагментные ионы могут образовываться непосредственно из молекулярных, а их отсутствие в спектрах дочерних ионов свидетельствует о высокой энергии, необходимой для одновременного разрыва нескольких ковалентных связей:



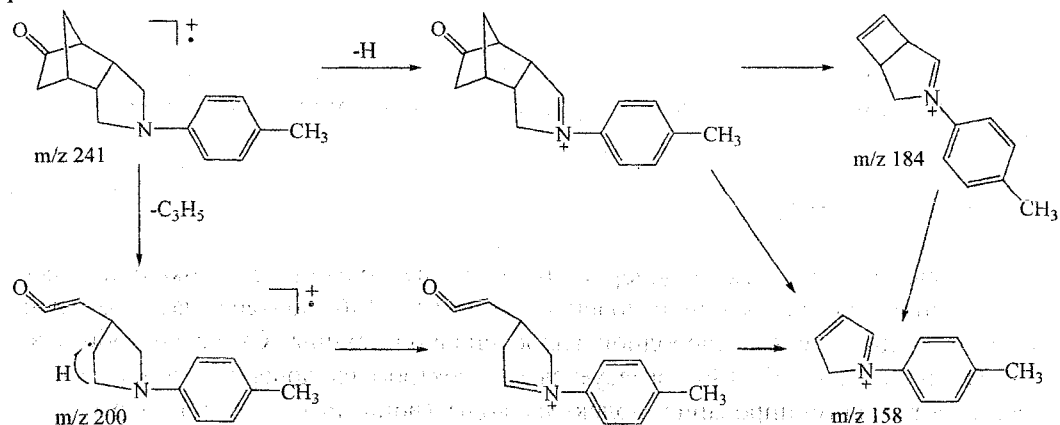
Как и следовало ожидать, присутствие двух гидроксильных групп в молекуле соединения (4) приводит к появлению в его масс-спектре пика ионов  $[M-\text{H}_2\text{O}]^+$  заметной интенсивности (12.7 %), тогда как пик молекулярных ионов имеет наименьшую в ряду рассмотренных соединений интенсивность (45.8 %). В спектре их

дочерних ионов наряду с интенсивным пиком ионов  $[M-H]^+$ , присутствуют относительно интенсивные пики ионов  $m/z$  241 ( $[M-H_2O]^+$ ) и  $m/z$  231.

Эlimинирование молекулы воды связано с миграцией атома водорода к гидроксильной группе от соседней гидроксильной группы либо из алифатической части молекулы [1], что может быть представлено следующей схемой:

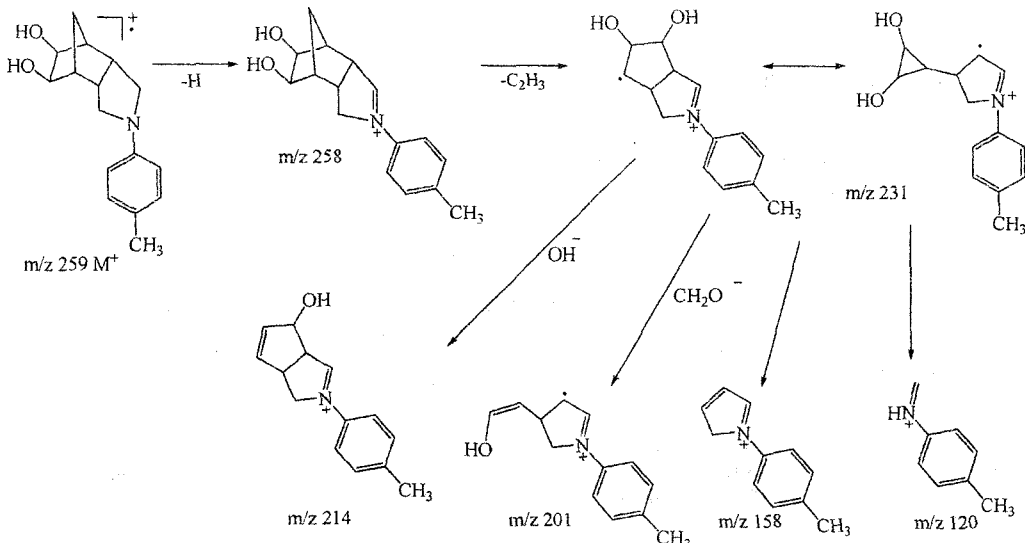


Дальнейший распад образовавшихся фрагментов, как следует из спектра их дочерних ионов сопровождается интенсивным эlimинированием атома водорода и расщеплением бициклической системы:



В пользу того, что фрагменты  $m/z$  200 содержат кислородный атом, свидетельствует эlimинирование ими частиц  $O, OH, CO, CHO, CH_2O$ . Пики соответствующие этим процессам наблюдаются в спектре их дочерних ионов.

Как отмечалось выше, второе направление распада молекулярных ионов соединения (4) связано с образованием фрагментов  $[M-28]^+$  ( $m/z$  231). Учитывая то, что в структуре исходной молекулы отсутствуют фрагменты с массой 28, можно предположить, что образование упомянутых осколочных ионов является результатом перегруппировочного или двухстадийного процесса. В пользу двухстадийного механизма их образования свидетельствует присутствие в спектре дочерних ионов молекулярных ионов интенсивного пика частиц  $[M-H]^+$ , который не наблюдается в масс-спектре. Эlimинирование водородного радикала не приводит к существенному снижению внутренней энергии частиц, что делает их не стабильными и способствует их быстрому дальнейшему распаду. Эти же частицы, образующиеся из долгоживущих обладающих низкой внутренней энергией молекулярных ионов в первой бесполевой области, обладают большей устойчивостью, что позволяет зарегистрировать их пик с помощью В/Е-связанного сканирования (аналогичная картина наблюдается и для соединения 3). С учетом этого, образование ионов  $m/z$  231 и их дальнейший распад можно представить следующей схемой. Представленные на схеме направления распада фрагментов  $m/z$  231 согласуются с их спектром дочерних ионов.



Таким образом, как видно из приведенных данных, в большинстве случаев стадией, определяющей направление дальнейшей фрагментации молекулярных и осколочных ионов рассмотренных соединений является расщепление ковалентной связи, находящейся в  $\beta$ -положении относительно атома азота с последующей его кватернизацией. Присутствие двух гидроксильных групп снижает устойчивость молекулярных ионов и увеличивает глубину распада.

### Библиографические ссылки

1. Вульфсон, Н.С. Масс-спектрометрия органических соединений / Н.С. Вульфсон, В.Г. Заикин, А.И. Микая. – М., 1986. – 312с.
2. Касьян, Л.И. Структура продуктов восстановления N-(m-толил)-экзо-2,3-эпоксибисцикло[2.2.1]гептан-эндо,эндо-5,6-дикарбоксимида алюмогидридом лития / Л.И. Касьян, О.В. Крищик, А.О. Касьян, И.Н. Тарабара // Журн. орган. химии. – 2004. – Т. 40, вып. 12. – С. 1878-1879.
3. Касьян, Л.И. Эпоксидные производные имидов ряда норборнена / Л.И. Касьян, О.В. Крищик, Л.К. Умрыхина, А.О. Касьян // Вісник Дніпропетр. ун-ту. Хімія. – 1998. – Вип. 3. – С. 87-90.
4. Пат. 3941746 США, МКИ C08J3/20. Containing hindered phenolic norbornane-2,3-dicarboximides stabilized compositions / J.F. Stephen – № 582564; Заявл. 30.05.75; Опубл. 2.03.76 // РЖХим. – 1976. – 23 Н 171П.
5. Пат. 51-45595 Япония, МКИ C07D 491/08. Способ получения эпокисей норборнан-2,3-дикарбоксимидов / Й. Кобаяси, Х. Коваути – № 46-33269; Заявл. 19.05.71, Опубл. 04.12.76 // РЖХим. – 1978. – 3 О 39П.
6. Тарабара, И.Н. Синтез и нейтрореальная активность производных эндикового ангидрида / И.Н. Тарабара, Е.Т. Зленко, Я.С. Бондаренко, О.В. Крищик, Л.И. Касьян // Журн. орган. фарм. химии. – 2006. – Т. 4, вып. 2. – С. 54-59.
7. Furdik, M. O synergetikach pyretra (XVI). Syntesa novych latok na baze cyklopentadienu, niektorych fulvenov a N-substituovanych bicyklo[1.2.2]hept-5-en-2,3-dicarboximidov / M. Furdik, V. Sutoris // Chem. Zvesti. – 1965. – V. 19, № 5. – P. 389-402.
8. Tarabara, I.N. exo-2,3-Epoxybicyclo[2.2.1]heptan-endo-5,6-dicarboximides: Versatile Synthons for Preparation of O- and N-Heterocycles / I. N. Tarabara, V. A. Palchikov, A.V. Vakulenko et al. // Abstr. of Papers of 8<sup>th</sup> Annual Florida Heterocyclic Conference. – Gainesville, USA. – 2007. – P. 41.

Надійшла до редколегії 12.01.09